

소결온도와 B_2O_3 첨가량에 따른 Mn 첨가 PMN-PZT의 유전 및 압전특성의 변화

신효순[†]

삼성전기주식회사 중앙연구소

(2004년 7월 13일 접수; 2004년 9월 6일 승인)

Dielectric/Piezoelectric Properties of Mn-Doped PMN-PZT with Variations of the Sintering Temperature and Addition of B_2O_3

Hyo-Soon Shin[†]

Central R&D Institute, Samsung Electro-Mechanics Co. Ltd., Suwon 443-743, Korea

(Received July 13, 2004; Accepted September 6, 2004)

초 록

우수한 압전 특성을 나타내는 것으로 알려진 Mn 첨가 PMN-PZT의 저온소결 첨가제로는 B_2O_3 가 사용되었고 소결온도와 B_2O_3 첨가량의 변화가 소결성과 유전 및 압전특성의 변화에 미치는 영향을 조사하였다. B_2O_3 첨가량과 소결온도를 변화시킨 결과 B_2O_3 첨가량 2 wt% 이하 1000°C 이하 조건에서 소결밀도가 증가하여 B_2O_3 가 저온소결재로 작용하였다. 그러나 1050°C 이상에서는 주조성인 PMN-PZT 보다 낮은 소결밀도를 나타내었다. B_2O_3 첨가에 따른 유전상수(ϵ_{33}^T)의 변화를 확인할 결과 B_2O_3 2 wt% 1000°C 조건에서 1000의 유전율을 나타내었다. B_2O_3 첨가량이 전기-기계 결합계수(k_p)와 압전상수(d_{33})에 큰 저하를 가져오지 않는 B_2O_3 첨가 한계는 2 wt% 이하로 나타났다. 이때, k_p 는 약 50%, d_{33} 는 약 300($\times 10^{-12}$ C/N) 정도의 값을 얻을 수 있었다. B_2O_3 첨가는 기계적 품질계수(Q_m)의 증기를 가져왔으며 0.5 wt% B_2O_3 첨가 1100°C 소결 조건에서 1700의 품질계수를 나타내었다. 유전손실은 B_2O_3 첨가에 따라 큰 변화 없이 0.5% 이하의 값으로 나타났다.

ABSTRACT

The additive of low temperature sintering in Mn-doped PMN-PZT known as high piezoelectric materials was studied in this experiment. B_2O_3 was used for the additive of low temperature sintering. The effects of sintering temperature in dielectric, and piezoelectric properties were investigated with the amounts of B_2O_3 . Sintered density was increased in comparison with no addition and under 2 wt% B_2O_3 and lower sintering temperature than 1000°C. Therefore, in the low sintering temperature, the densification was improved by the addition of the B_2O_3 . However, the sintering density was lower than that of the main composition in the case of the sintered at over 1050°C. Dielectric constant with the addition of B_2O_3 was evaluated. The dielectric constant was 1000 2 wt% of B_2O_3 and sintered at 1000°C. Under 2 wt% of B_2O_3 , the electromechanical coupling factor and the piezoelectric constant were not so much decreased. The electromechanical coupling factor and the piezoelectric constant were 50% and 300($\times 10^{-12}$ C/N), respectively. The mechanical quality factor was increased with B_2O_3 . The mechanical quality factor was 1700 at 0.5 wt% B_2O_3 and sintered at 1100°C. Dielectric loss was less than 0.5% regardless of the amount of B_2O_3 .

Key words : Piezoelectric, PMN-PZT, B_2O_3 , Low temperature sintering

1. 서 론

다양한 압전 재료의 응용에 따라 대표적인 압전 재료로 알려진 PZT계 세라믹스에 많은 관심이 집중되었으며, 다양한 재료와 특성들이 보고되었다.¹⁻³⁾ 그 과정에서 압전재료의 주된 조성이 되는 Pb의 휘발억제와 소결온도의 저하에 따른 제조단가를 줄이기 위한 목적으로 PZT계 압

전 세라믹스의 저온소결은 80년대에 이미 중요한 문제로 대두되었다.⁴⁻⁸⁾

한편, 전자부품의 적층화와 박막화 경향에 따라 압전 세라믹스와 이를 디바이스화하는데 필요한 전극을 동시에 열처리해야하는 공정상의 문제로 인하여 최근 저온소결에 대한 필요성이 다시 증가되고 있다.⁹⁻¹¹⁾ 적층공정은 세라믹스 테입에 전극을 도포한 후 이를 교대로 적층하여 동시에 열처리되는 공정으로 세라믹스의 소결온도에서 전극의 열처리가 가능한 Ag-Pd 합금을 사용하고 있으나 단가가 매우 높다는 문제가 있으며 실리콘 기판 위에서 이루어지는 후막 공정에서는 세라믹스의 열처리온도

[†]Corresponding author : Hyo-Soon Shin

E-mail : hyosoon.shin@samsung.com

Tel : +82-31-210-6496 Fax : +82-31-210-3868

가 높은 경우 실리콘 기판의 안정성이 문제가 된다.

지금까지 보고된 저온소결의 접근법은 미세한 원료분체를 이용하는 방법,¹²⁾ 핫프레스에 의한 방법¹³⁾ 및 소결첨가제에 의한 방법⁴⁻⁸⁾ 등이었다. 첨가제 및 조성의 제어를 통한 PZT계 세라믹스의 저온소결 개념은 압전 세라믹스 입계에 액상을 생성시킴으로써 액상소결을 유발한다는 것이다. 액상의 생성은 보다 낮은 온도에서도 물질의 확산을 용이하게 하기 때문에 낮은 온도에서 소결을 가능하게 할 수 있다. 이 방법의 접근법은 크게 두 가지로 나눌 수 있다. 첫째, 산화물, 불화물, 탄화물 형태의 첨가제를 PZT계 페로브스카이트 화합물에 첨가하는 방법⁴⁻⁸⁾과 둘째, 다른 페로브스카이트 화합물을 이용하여 고용상의 복합페로브스카이트 화합물을 만드는 방법⁹⁻¹¹⁾이 그것이다. 그러나 실제 실험에서는 이들 첨가제가 복합적으로 사용되고 있으며 이들의 역할에 대한 규명은 아직 미흡한 실정이다.

강유전체 세라믹스에 B_2O_3 첨가에 따른 저온소성 효과에 관한 보고는 여러 곳에서 이미 실험되어졌다. 임성민¹⁴⁾ 등은 BST계에서 B_2O_3 을 액상 소결용 첨가제로 0.5 wt% 첨가하여 1350°C에서 1150°C로 소결온도를 낮추었다고 보고하였다. 그리고 PTCR 재료로 사용되어지는 $BaTiO_3$ 계에서도 입계 modifier로서 BN을 첨가하여 저온에서 소결이 이루어진다고 보고되었는데 그 원인은 BN에 포함된 B 이온이 B_2O_3 을 주성분으로 한 액상형성으로 인하여 저온에서의 급격한 치밀화가 관찰된다고 보고한 바 있다.¹⁵⁾ 이러한 첨가제로써의 역할도 많이 보고되었지만 B_2O_3 은 PbO 와 유리 조성을 쉽게 형성하는 것으로 많이 알려진 재료이다.¹⁶⁾ 그러나 액상의 생성과 저온소성 첨가제로써의 역할은 조성계에 따라 각각 다른데 PZT를 주 성분으로 하는 압전세라믹스 조성에서는 B_2O_3 의 첨가에 따른 저온소성효과에 대한 연구가 많이 보고되지 않았다.

본 실험에서는 Ouchi¹⁷⁾ 등이 보고한 PMN-PZT를 주조성으로 선택하였다. 소결온도와 B_2O_3 의 첨가량을 변화시킴에 따른 소결밀도의 변화를 조사하고 압전특성을 측정하였다. 이 과정에서 소결첨가제 B_2O_3 과 소결온도가 소결과 압전특성의 변화에 미치는 영향을 설명하고자 하였다.

2. 실험 방법

실험에 사용된 원료는 모두 Aldrich 시약급의 산화물을 사용하였다. 단지 PbO 는 High purity chemical의 고순도급을 사용하였다. 이들 원료 분체를 이용하여 산화물 혼합법으로 압전체 분체를 제조하고 각 조성에서 제조된 분체를 이용하여 시편을 제작한 후 그 특성을 평가하였다.

정확한 조성의 원료분체를 제조하기 위해 전자저울을 이용하여 10^{-4} g까지 평량한 시료를 에탄올을 분산매로 지르코니아 볼과 함께 플라스틱 용기에 주입한 후 24시

간 습식 혼합, 분쇄하였다. 혼합된 원료는 완전히 건조한 후 알루미나 도가니에 넣어 850°C에서 2시간 하소하여 0.375 $Pb(Mg_{1/3}Nb_{2/3})O_3$ -0.25 $PbZrO_3$ -0.375 $PbTiO_3$ +0.5 wt% MnO_2 (PMN-PZT)을 합성하였다. 이때 MnO_2 의 량은 선행 기초 연구를 통하여 유전 및 압전특성이 최적으로 나타나는 첨가량으로 선택되어졌다. 합성된 PMN-PZT는 저온소결을 위한 첨가제 B_2O_3 를 0.5에서 8 wt% 첨가한 후 24시간 볼밀링하였다.

이들 각 조건의 분체들은 결합제를 polyvinyl alcohol (217-C) 5 wt% 수용액을 5 wt% 첨가하여 균일하게 섞은 후 Φ18 mm 금형으로 80 MPa의 압력을 가하여 성형하였다. 성형된 시편들은 600°C에서 3시간 열처리하여 결합제를 연소하였으며 이 시편들은 PbO 의 휘발을 억제하기 위해 $PbZrO_3$ 분위기 분말을 사용하여 2중 알루미나 도가니에서 소결하였다. 소결조건은 승하강 속도를 5°C/min으로 900에서 1150°C까지 50°C 간격으로 소결하였다. 소결이 끝난 시편은 양면 연마기를 이용하여 두께가 1 mm가 되도록 연마한 다음 은 페이스트(Dupont #7095)를 도포하고 600°C에서 10분간 열처리하여 전극을 형성하였다. 전극이 형성된 시편은 분역의 방향성을 부여하기 위하여 120°C의 실리콘 오일 속에서 3.5 kV/mm의 직류전계를 25분간 가하여 분극을 하였으며 분극 후 24시간이 경과한 후 시편의 특성을 측정하였다. 각 조건의 시편은 치수 법으로 성형밀도를 측정하였고 아르카메데스 법으로 소결밀도를 측정하였다. 유전율은 LF 임피던스 분석기(HP4192A)를 사용하여 1 kHz에서의 정전용량 C를 측정하여 다음 식으로 계산하였다.

$$C = \frac{\epsilon_{33}^T \cdot \epsilon_0 \cdot S}{t}$$

압전특성은 EMAS(Electronic Material Manufacture Association Standard)-6003에 근거한 공진-반공진법에 의해서 Piezometer(Model CPDP 3300, Channel Products Inc.), Network Analyzer(HP3577A)와 LF 임피던스 분석기를 사용하여 압전상수 d_{33} , 전기-기계 결합계수 k_p 와 기계적 품질계수 Q_m 을 다음과 같이 구하였다.

$$\frac{1_2}{k_p} = 0.395 \frac{f_r}{\Delta f} + 0.574$$

$$Q_m = \frac{1}{2\pi f_r (1 - f_r^2/f_a^2) RC}$$

이때, C와 R은 각각 1 kHz에서 소자의 정전용량과 공진 시 소자의 저항 값이다.

3. 결과 및 고찰

B_2O_3 첨가에 따른 소결밀도 변화는 Fig. 1(a)에 소결 온

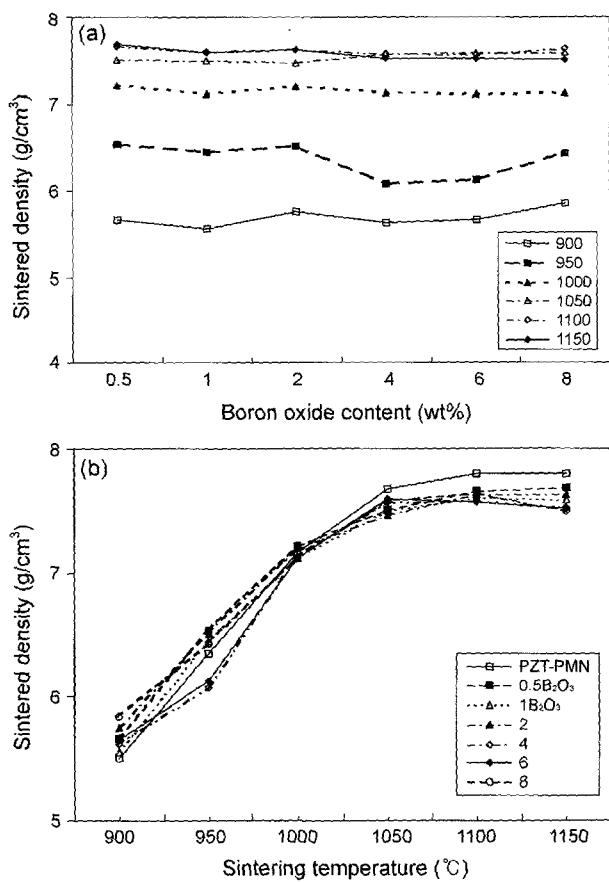


Fig. 1. Sintered densities of PMN-PZT with (a) the amounts of B_2O_3 and (b) sintering temperature.

도의 변화에 따른 소결밀도 변화는 Fig. 1(b)에 각각 나타내었다. Fig. 1(a)에서 B_2O_3 의 첨가량이 변화함에 따라 소결밀도의 변화는 크게 나타나지 않았다. 즉 B_2O_3 의 증가는 소결성의 향상에 크게 기여하지 않는다고 할 수 있다. 그러나 PMN-PZT에 비하여 900°C, 950°C, 1000°C에서 소결한 경우 소결밀도가 조금 증가함을 알 수 있어서 B_2O_3 의 첨가는 저온에서 소결성을 향상시키는 것으로 볼 수 있다. B_2O_3 의 첨가에 따라 액상이 형성되고 그 액상은 소결을 촉진시키지만 B_2O_3 량의 증가, 즉, 액상 량의 증가에 따라 치밀화 속도의 변화는 크게 나타나지 않는다는 것이다.

온도변화에 따른 소결밀도의 변화를 나타낸 Fig. 1(b)에서는 전체적으로 1050°C 이상에서 밀도가 포화되는 경향을 나타내고 있으며 900°C의 경우 PMN-PZT에 비해 모두 높은 밀도를 나타내고 있으나 그 차이가 크지 않음을 알 수 있다. 특히, B_2O_3 첨가량이 0.5 wt%, 1 wt%, 2 wt%, 4 wt%인 경우 온도 증가에 따라 PMN-PZT와 비슷한 밀도증가를 나타내었다. 6 wt%와 8 wt%의 경우 950°C에서 밀도가 PMN-PZT 보다 오히려 낮고 1000°C에서 다시 비슷해지는 경향을 나타내었다. 전체적으로 1050°C 이상의

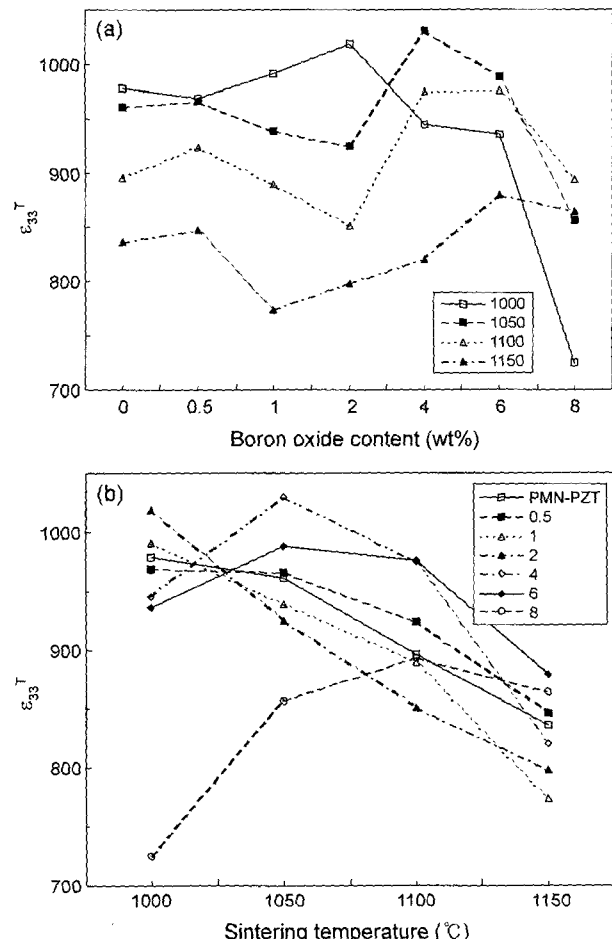


Fig. 2. Dielectric constants of PMN-PZT with (a) the amounts of B_2O_3 and (b) sintering temperature.

온도에서 소결이 이루어진 시편들의 소결밀도는 PMN-PZT와 비교하면 조금 낮은 소결밀도를 나타내었다. 이것은 밀도가 상대적으로 낮을 것으로 예상되는 액상이 첨가됨에 따라 전체 밀도의 저하를 가져온 것으로 생각된다.

Fig. 2는 B_2O_3 첨가량과 소결온도에 따른 유전상수의 변화를 보여준다. Fig. 2(a)에서 B_2O_3 첨가에 따라 1050°C, 1100°C, 1150°C 소결의 경우가 비슷한 경향을 나타내었는데 온도의 증가에 따라 유전상수가 낮아짐을 알 수 있다. 그러나 1000°C 소결의 경우, 1 wt%와 2 wt% B_2O_3 첨가에 따라 유전상수는 증가하여 1000 이상의 값을 나타내었고, 4 wt%, 6 wt%, 8 wt% B_2O_3 첨가에 따른 유전상수는 크게 감소하였다. 소결온도에 따른 유전상수의 변화는 Fig. 2(b)에 나타내었다. 전체적으로 소결온도의 증가에 따라 유전상수는 감소하는 경향을 나타내었는데 0.5 wt%, 1 wt%, 2 wt% B_2O_3 첨가의 경우 PMN-PZT와 일치하는 경향을 나타내었다. B_2O_3 첨가량이 증가함에 따라 4 wt%와 6 wt%의 경우 1050°C에서 가장 높은 유전상수를 나타내었고, 8 wt%의 경우 1100°C에서 소결한 시편이 가장 높은 유전

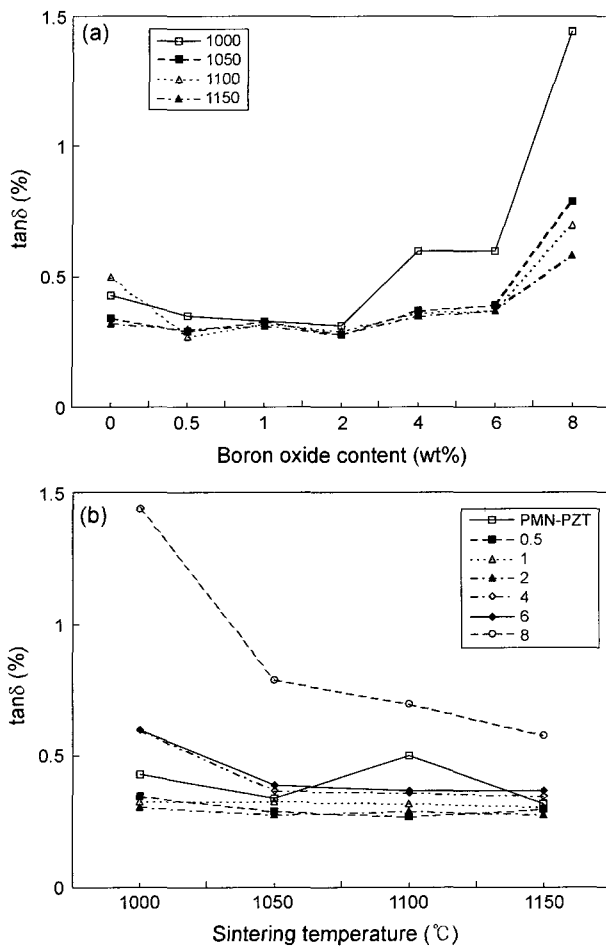


Fig. 3. Dielectric losses of PMN-PZT with (a) the amounts of B_2O_3 and (b) sintering temperature.

상수를 나타내었다. 즉, 이 결과는 소결온도가 증가하면 같은 소결온도에서 B_2O_3 첨가량이 점차 증가하는 조성에서 유전율이 최고로 나타남을 보여준다. 그러나 그 원인을 확실히 설명하기는 어렵다. 하지만 Fig. 2의 결과는 B_2O_3 첨가가 몇몇 조성에서 PMN-PZT의 유전상수를 증가시킬 수 있음을 보여준다.

Fig. 3(a)는 B_2O_3 첨가에 따른 유전손실의 변화를 나타내고 있다. 그림에서 1000°C의 경우 B_2O_3 첨가량이 증가함에 따라 유전손실은 점차적으로 증가하여 1.5%까지 나타내었다. 유전율이 높은 경우 손실이 대체로 크게 나타나지만 B_2O_3 첨가량이 적은 영역에서 Fig. 2(a) 유전율 결과에서는 유전율이 높게 나타났으나 Fig. 2(a)에서 유전손실은 그리 크게 나타나지 않고 오히려 B_2O_3 첨가량이 증가함에 따라 큰 폭으로 증가하여 이차상 등의 생성을 의심하게 한다. 그러나 XRD 분석 등의 상분석 결과로는 어떤 변화를 관찰 할 수 없었다. 또한, 소결온도 1050°C, 1100°C, 1150°C의 경우 6 wt% B_2O_3 첨가 시까지 유전손실의 큰 변화는 나타나지 않았다. 그러나 8 wt% B_2O_3 첨

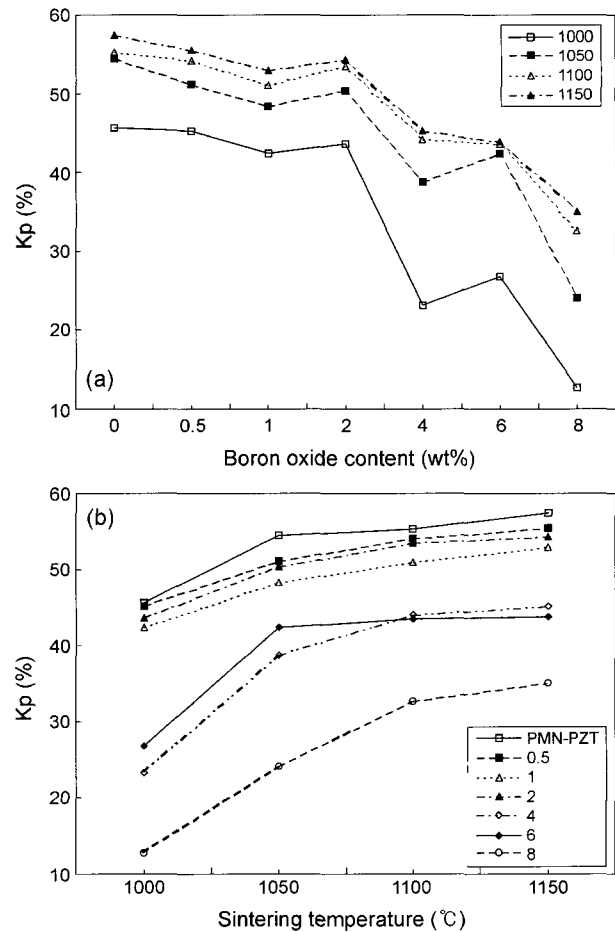


Fig. 4. Electromechanical coupling factors of PMN-PZT with (a) the amounts of B_2O_3 and (b) sintering temperature.

가의 경우 0.5% 이상으로 증가함을 보여준다. 유전손실의 소결온도의 변화에 따른 결과는 Fig. 3(b)에 나타내었다. 소결온도에 따른 유전손실은 소결온도가 증가함에 따라 점차 감소하고 있다. 그리고 0.5 wt%, 1 wt%, 2 wt% B_2O_3 첨가의 경우 온도 변화와 상관없이 유전손실은 일정하게 나타났다. 특히 8 wt%의 경우 확실한 유전손실의 증가를 보여 B_2O_3 과량 첨가의 문제점을 제시해 준다.

전기-기계 결합계수(k_p) 값의 변화는 Fig. 4에 나타내었다. Fig. 4(a)에서 B_2O_3 첨가량이 증가함에 따라 전기-기계 결합계수는 점차 감소함을 보여준다. 그러나 소결온도 1050°C, 1100°C, 1150°C의 경우 2 wt% B_2O_3 첨가 시까지 약 50%의 k_p 값을 나타내고 있어서 B_2O_3 가 소량 첨가될 경우 전기-기계 결합계수에는 큰 영향을 주지 않는다는 것을 알 수 있다. 1000°C 소결 시편의 경우 B_2O_3 첨가량에 따른 전기-기계 결합계수의 변화 경향은 다른 온도와 비슷하였으나 시편이 충분히 소결되지 않아서 그 값은 다른 소결온도의 시편에 비하여 현격히 떨어짐을 볼 수 있다. 소결온도에 따른 전기-기계 결합계수의 변화를

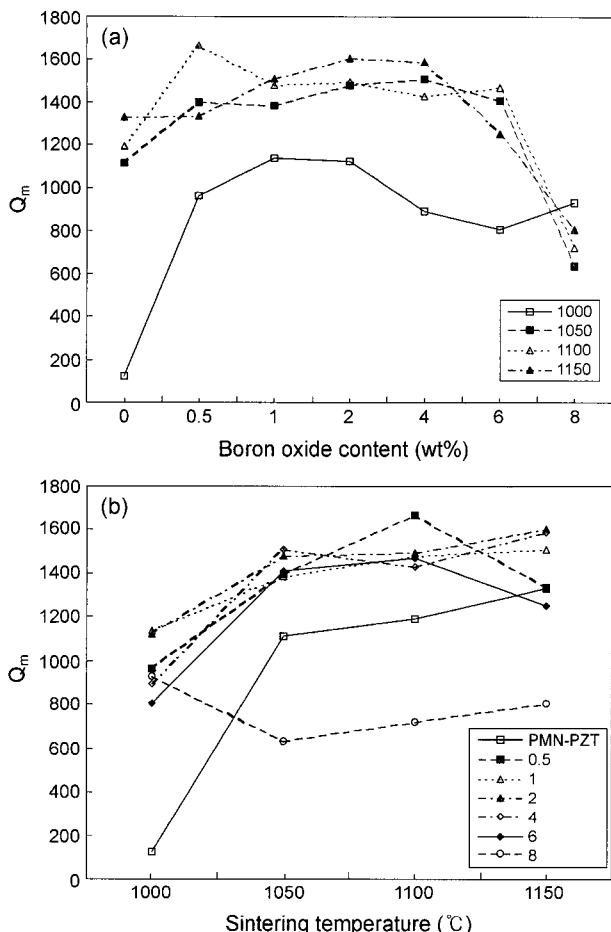


Fig. 5. Mechanical quality factors of PMN-PZT with (a) the amounts of B_2O_3 and (b) sintering temperature.

Fig. 4(b)에 나타내었다. 그림에서 온도에 따른 경향은 B_2O_3 첨가와 무관하게 단조증가의 형태를 나타내고 있다. 이것은 소결온도 증가에 따라 Fig. 2의 결과와 같이 유전율은 뚜렷이 감소되는 경향을 나타내지만 전기-기계 결합계수는 Fig. 1의 밀도증가에 따라 연속적으로 증가됨을 알 수 있다. 그리고 PMN-PZT, 0.5 wt%, 1 wt%, 2 wt% B_2O_3 첨가의 경우 값의 큰 차이가 없이 같은 경향으로 증가하고 4 wt%와 6 wt%의 경우가 비슷한 값을 나타내었으며, 8 wt% B_2O_3 첨가의 경우 k_p 값의 큰 감소를 보였다. 이 결과에 따라 B_2O_3 의 소량 첨가는 압전특성에 큰 감소를 가져오지 않을 것임을 예상할 수 있다.

Fig. 5(a)는 기계적 품질계수(Q_m) 값의 변화를 B_2O_3 첨가량의 변화에 따라 나타내었다. 그림에서 기계적 품질계수는 B_2O_3 의 첨가에 따라 증가하였다가 B_2O_3 가 8 wt% 첨가된 조건에서 급격하게 떨어졌다. 1050°C, 1100°C, 1150°C의 온도에서 소결한 시편의 경우 B_2O_3 가 첨가됨에 따라 PMN-PZT 보다 높은 값인 1500 정도의 기계적 품질계수를 나타내었다. 특히, 소결온도 1100°C 0.5 wt% B_2O_3 의 경우 약 1700 정도의 높은 값을 나타내었다. 소결밀도가

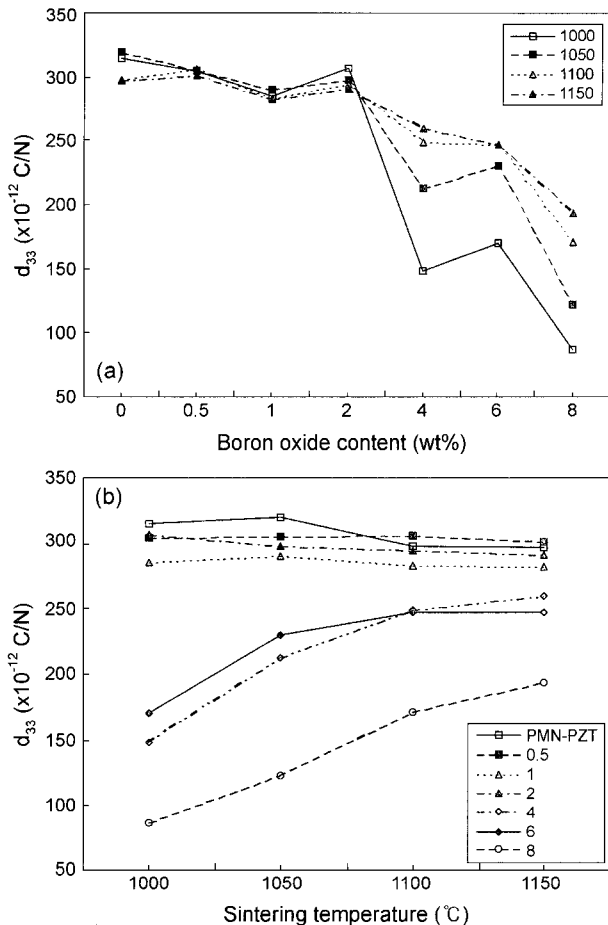


Fig. 6. Piezoelectric constants of PMN-PZT with (a) the amounts of B_2O_3 and (b) sintering temperature.

약 7 g/cm³ 정도인 1000°C 소결시편의 경우 B_2O_3 의 첨가에 따라 높은 기계적 품질계수의 증가를 보였으나 시편의 소결이 충분히 이루어지지 않아 1000 정도의 값을 나타내었다. 이 값은 다른 소결온도의 기계적 품질계수와 크게 차이가 났다. 소결온도에 따른 기계적 품질계수의 변화를 표시한 Fig. 5(b)에서는 8 wt%를 제외하고 B_2O_3 가 첨가된 조건들이 PMN-PZT 보다 높은 기계적 품질계수를 나타내고 있다. 그리고 소결온도에 따른 기계적 품질계수의 변화는 비슷한 양상을 나타내었고 1300 이상의 높은 값을 나타내었다. 이 결과로부터 B_2O_3 첨가는 기계적 품질계수의 증가를 가져옴을 알 수 있다.

Fig. 6(a)는 B_2O_3 첨가에 따른 압전상수(d_{33})의 변화를 나타낸 그림이다. 압전상수는 B_2O_3 첨가량이 증가함에 따라 점차 감소함을 알 수 있다. 특히, B_2O_3 4 wt% 첨가시에 급격한 감소가 나타나고 있음을 볼 수 있다. 즉, 소량의 B_2O_3 첨가는 압전상수의 큰 저하를 가져오지 않음을 알 수 있다. 이와 같은 경향은 Fig. 4(a)의 전기-기계 결합계수의 결과와 비슷하게 나타났다. 그러나 1000°C에서 소결한 시편의 경우 전기-기계 결합계수에서는 다른 온도에 비해 낮

은 값을 나타냈지만 압전상수에서는 다른 온도와 큰 차이가 없이 나타났다. 그리고 1000°C 4 wt%에서부터 급격한 감소가 생겨 다른 온도에 비해 낮은 값을 나타내었다. 2 wt% 이하의 B_2O_3 첨가는 소결온도에 상관없이 압전상수의 큰 저하가 나타나지 않았고 약 $300(\times 10^{-12} \text{ C/N})$ 에 가까운 압전상수를 나타내었다. 한편, 소결온도의 증가에 따른 압전상수의 변화는 Fig. 6(b)에 나타내었다. 그림에서 온도 증가에 따라 PMN-PZT, 0.5 wt%, 1 wt%, 2 wt% B_2O_3 첨가의 경우 큰 변화없이 $300(\times 10^{-12} \text{ C/N})$ 정도의 값을 보임을 확인할 수 있다. 그리고 4 wt%와 6 wt% B_2O_3 첨가시 소결온도의 증가에 따라 비슷한 경향으로 점차 증가하고 있으며, 8 wt% 첨가 시에는 전체적으로 $200(\times 10^{-12} \text{ C/N})$ 이하의 낮은 값을 나타내지만 소결온도 증가에 따라 점차 증가하였다. 이들 압전상수는 Fig. 4(b)의 전기-기계 결합계수와 전체적으로 일치하는 경향을 나타내었다.

4. 결 론

소결온도와 B_2O_3 첨가에 따른 PMN-PZT의 소결성과 압전특성 변화를 실험한 결과 저온에서 약간의 소결성 증진이 나타났고 1050°C 정도에서 소결이 이루어지지만 소결밀도는 PMN-PZT 보다 낮게 나타났다. 유전상수의 변화를 실험한 결과 B_2O_3 첨가에 따라 PMN-PZT 보다 높은 값을 나타내는 조건이 다수 존재하였다. B_2O_3 첨가량이 2 wt% 이하 조건에서 전기-기계 결합계수와 압전상수는 큰 저하가 나타나지 않았고 k_p 약 50% d_{33} 약 $300(\times 10^{-12} \text{ C/N})$ 정도의 값을 나타내었다. B_2O_3 첨가에 따라 기계적 품질계수 변화를 확인한 결과 품질계수가 1700을 나타내는 조건이 확인되었고 유전손실은 B_2O_3 첨가에 따라 큰 변화 없이 0.5% 이하의 값으로 나타났다. 하지만 전체적으로 B_2O_3 첨가량이 많은 경우 압전특성이 전체적으로 나쁘게 나타났다.

REFERENCES

- O. Babushkin, T. Lindback, J. C. Luc, and J. Y. M. Leblais, "Reaction Sequence in the Formation of Perovskite $Pb(ZrO_{0.48}Ti_{0.52})O_3$ - $Pb(Nb_{2/3}Ni_{1/3})O_3$ Solid Solution: Dynamic Heat-Treatment," *J. European Ceram. Soc.*, **18** 737-44 (1998).
- T. Sakai and H. Kawamoto, "Improvement in Displacement and Durability of PZT Ceramics by Addition of Acceptor Elements and Pulverizing Process," *J. Ceram. Soc. Jpn.*, **106** [8] 792-97 (1998).
- T. Ota, T. Fukaya, N. Ikeda, Y. Hikichi, H. Unuma, M. Takahashi, and H. Suzuki, "Preparation and Electrical Properties of PZT Ceramics with Gradient Compositions," *J. Ceram. Soc. Jpn.*, **106** [1] 119-23 (1998).
- S. Y. Cheng, S. L. Fu, and C. C. Wei, "Low-Temperature Sintering of PZT Ceramics," *Ceram. Int.*, **13** 223-31 (1987).
- D. E. Wittmer and R. C. Buchanan, "Low-Temperature Densification of Lead Zirconate-Titanate with Vanadium Pentoxide Additive," *J. Am. Ceram. Soc.*, **64** [8] 485-90 (1981).
- S. Y. Cheng, S. L. Fu, C. C. Wei, and G. M. Ke, "The Properties of Low-Temperature Fired Piezoelectric Ceramics," *J. Mater. Sci.*, **21** 571-76 (1986).
- G. Zhilun, L. Longtu, G. Suhua, and Z. Xiaowen, "Low-Temperature Sintering of Lead-Based Piezoelectric Ceramics," *J. Am. Ceram. Soc.*, **72** [3] 486-91 (1989).
- S. Takahashi, "Sintering $Pb(Zr,Ti)O_3$ Ceramics at Low Temperature," *Jpn. J. Appl. Phys.*, **19** [4] 771-72 (1980).
- K. Murakami, D. Dong, H. Suzuki, and S. Kaneko, "Micro-analysis of Grain Boundary on Low-Temperature Sintered $Pb(Zr,Ti)O_3$ Ceramics with Complex Oxide Additives," *Jpn. J. Appl. Phys.*, **34** Part1 [9B] 5457-61 (1995).
- D. Dong, K. Murakami, N. Okada, and S. Kaneko, "Behavior of Morphotropic Phase Boundary in Low-Temperature Sintered Lead Zirconate Ceramics with $BiFeO_3$ and $Ba(Cu_{0.5}W_{0.5})O_3$," *Jpn. J. Appl. Phys.*, **33** Part1 [9B] 5529-32 (1994).
- S. Kaneko, D. Dong, and K. Murakami, "Effect of Simultaneous Addition of $BiFeO_3$ and $Ba(Cu_{0.5}W_{0.5})O_3$ on Lowering of Sintering Temperature of $Pb(Zr,Ti)O_3$ Ceramics," *J. Am. Ceram. Soc.*, **81** [4] 1013-18 (1998).
- E. Nieto, J. F. Fernandez, C. Moure, and P. Duran, "Multilayer Piezoelectric Devices Based on PZT," *J. Mater. Sci. Mater. Elec.*, **7** 55-60 (1996).
- N. D. Patel and P. S. Nicholson, "Comparison of Piezoelectric Properties of Hot-Pressed and Sintered PZT," *Am. Ceram. Soc. Bull.*, **65** [5] 783-87 (1986).
- S. M. Rhim, S. M. Hong, H. J. Bak, and O. K. Kim, "Effect of B_2O_3 Addition on the Sintering Behavior, Dielectric and Ferroelectric Properties of $Ba_{0.7}Sr_{0.3}TiO_3$ Ceramics," *J. Kor. Ceram. Soc.*, **36** [7] 767-72 (1999).
- J. H. Lee and S. H. Cho, "The Role of Grain Boundary Modifier in $BaTiO_3$ System for PTCR Device," *Kor. J. Mater. Res.*, **3** [5] 553-61 (1993).
- C. S. Lee and C. Y. Kim, "Structure and Properties in the $PbO-B_2O_3$ Glass System with Addition of Divalent Metallic Oxides," *J. Kor. Ceram. Soc.*, **20** [3] 236-42 (1983).
- H. Ouchi, M. Nishida, and S. Hayakawa, "Piezoelectric Properties of $Pb(Mg_{1/3}Nb_{2/3})O_3$ - $PbTiO_3$ - $PbZrO_3$ Ceramics Modified with Certain Additives," *J. Am. Ceram. Soc.*, **49** [11] 577-82 (1966).